

СТРУКТУРА ОРГАНИЧЕСКИХ СОЕДИНЕНИЙ

УДК 548.31

СИНТЕЗ И СТРОЕНИЕ НОВЫХ ДИСУЛЬФАТОУРАНИЛАТОВ

© 2023 г. В. Н. Сережкин^{1,*}, М. С. Григорьев², Д. С. Митина¹, Л. Б. Сережкина¹

¹Самарский национальный исследовательский университет им. академика С.П. Королева, Самара, Россия

²Институт физической химии и электрохимии им. А.Н. Фрумкина РАН, Москва, Россия

*E-mail: serezkin@samsu.ru

Поступила в редакцию 27.01.2023 г.

После доработки 27.01.2023 г.

Принята к публикации 22.02.2023 г.

Проведены синтез и рентгеноструктурное исследование монокристаллов двух новых дисульфатоуанилатов: $\text{Rb}_2[\text{UO}_2(\text{SO}_4)_2(\text{H}_2\text{O})] \cdot 1.75\text{H}_2\text{O}$ (**I**) и $(\text{N}_2\text{H}_5)_2[\text{UO}_2(\text{SO}_4)_2(\text{H}_2\text{O})]$ (**II**). В структурах **I** и **II** каждый ион уранила координирует в экваториальной плоскости четыре бидентатно-мостиковых сульфатогруппы и одну молекулу воды, образуя пентагонально-бипирамидальные комплексы с кристаллохимической формулой AB_2M^1 ($A = \text{UO}_2^{2+}$, $B^2 = \text{SO}_4^{2-}$, $M^1 = \text{H}_2\text{O}$). Установлено, что при одинаковом составе $[\text{UO}_2(\text{SO}_4)_2(\text{H}_2\text{O})]^{2-}$ урансодержащие структурные единицы являются геометрическими изомерами: в **I** они имеют цепочечное, а в **II** – слоистое строение.

DOI: 10.31857/S0023476123600258, EDN: HZMMNJ

ВВЕДЕНИЕ

Сульфатсодержащие соединения уранила являются одной из важных и наиболее распространенных групп вторичных минералов урана [1, 2]. Это вызвано тем, что именно с образованием сульфатокомплексов уранила связан один из используемых методов вскрытия урансодержащих руд и материалов – сернокислотное выщелачивание [3]. Среди изученных комплексов независимо от природы и заряда внешнесферных катионов наиболее устойчивыми являются дисульфатоуанилаты. В их структуре атомы U(VI) проявляют пентагонально-бипирамидальную координацию и чаще всего образуют комплексные группировки $[\text{UO}_2(\text{SO}_4)_2(\text{H}_2\text{O})]^{2-}$, которые описываются кристаллохимической формулой AB_2M^1 ($A = \text{UO}_2^{2+}$, $B^2 = \text{SO}_4^{2-}$, $M^1 = \text{H}_2\text{O}$) [4]. Обозначения типов координации лигандов и методика записи формулы представлены в [5]. Как известно, комплексы с одинаковой кристаллохимической формулой могут иметь разную топологию вследствие геометрической изомерии, которая обусловлена изменением реального числа (C_p) соседних атомов урана, связанных с базисным всеми мостиковыми лигандами. Максимальное теоретически возможное число соседних атомов урана (C_t) можно легко рассчитать на основании кристаллохимической формулы [5]. Поскольку для комплексов AB_2M^1 $C_t = 4$, для воз-

можных геометрических изомеров в общем случае $1 \leq C_p \leq C_t = 4$.

Почти половина из приблизительно сорока структурно охарактеризованных к настоящему времени дисульфатоуанилатов известна в виде слоистых комплексов с $C_p = 4$, другая половина имеет цепочечное строение с $C_p = 2$. Реже всего встречаются слоистые комплексы AB_2M^1 с $C_p = 3$ [6–8], хотя один из них – $(\text{NH}_4)_2[\text{UO}_2(\text{SO}_4)_2(\text{H}_2\text{O})] \cdot \text{H}_2\text{O}$ – был сравнительно недавно охарактеризован как природный минерал бештауит [9]. Интересно, что давно известный $\text{K}_2[\text{UO}_2(\text{SO}_4)_2(\text{H}_2\text{O})] \cdot \text{H}_2\text{O}$, при исследовании которого А. Беккерель еще в 1896 г. обнаружил явление радиоактивности, относится к изомерам с $C_p = 4$ [10, 11] и тоже только недавно был описан как минерал гешиберит [12]. Для известной серии изоморфных дисульфатоуанилатов двухвалентных металлов $R[\text{UO}_2(\text{SO}_4)_2(\text{H}_2\text{O})] \cdot \text{H}_2\text{O}$, где $R = \text{Mg}, \text{Fe}, \text{Co}, \text{Ni}, \text{Cu}, \text{Zn}, \text{Mn}, \text{Cd}$ [13–15], содержащих комплексы с $C_p = 2$, также недавно был обнаружен первый природный аналог, получивший название ритвельдит (при $R = \text{Fe}$) [16]. Интересно, что согласно [17] упомянутый выше $\text{K}_2[\text{UO}_2(\text{SO}_4)_2(\text{H}_2\text{O})] \cdot \text{H}_2\text{O}$ является также единственным известным дисульфатоуанилатом с $C_p = 2$, который содержит одновалентные катионы. Четвертый теоретически возможный изомер с $C_p = 1$ вследствие специфики формы координационных полиэдров атомов U(VI) в дисульфатоуанилатах не реализуется.

Настоящая работа посвящена изучению строения новых дисульфатоуанилатов $\text{Rb}_2\text{UO}_2(\text{SO}_4)_2 \cdot 2.75\text{H}_2\text{O}$ (**I**) и $(\text{N}_2\text{H}_5)_2\text{UO}_2(\text{SO}_4)_2 \cdot \text{H}_2\text{O}$ (**II**).

ЭКСПЕРИМЕНТАЛЬНАЯ ЧАСТЬ

Синтез I. К навескам оксида урана(VI) (0.40 г, 1.4 ммоль) и сульфата рубидия (0.19 г, 0.7 ммоль) добавляли 8 мл воды и 2 мл 2н раствора серной кислоты. Полученную суспензию помещали в автоклав на 24 ч при температуре 140°C. Из полученного раствора при медленном испарении при комнатной температуре через шесть дней формировались игольчатые желтые кристаллы состава $\text{Rb}_2\text{UO}_2(\text{SO}_4)_2 \cdot 2.75\text{H}_2\text{O}$ (**I**) (найдено: U 34.71 мас.%; вычислено: U 34.87 мас.%).

Синтез II. В качестве исходных веществ использовали оксид урана(VI), мономиодоуксусную кислоту и сульфат гидразиния. К водному раствору мономиодоуксусной кислоты (0.7804 г (4.2 ммоль) в 7 мл воды) добавляли оксид урана(VI) (0.2 г, 0.7 ммоль) и перемешивали до полного растворения. Затем приливали водный раствор сульфата гидразиния (0.1818 г (1.4 ммоль) в 5 мл воды). Полученный ярко-желтый прозрачный раствор оставляли для медленной кристаллизации на воздухе. Через 25–30 дней формировались желтые кристаллы состава $(\text{N}_2\text{H}_5)_2\text{UO}_2(\text{SO}_4)_2 \cdot \text{H}_2\text{O}$ (**II**) (найдено, %: U, 43. 1; вычислено, %: U, 43.59).

Рентгеноструктурный анализ. Рентгенодифракционные эксперименты проведены при 100(2) К на автоматических дифрактометрах Bruker KAPPA APEX II для **I** и Bruker D8 QUEST PHOTON для **II**. Параметры элементарной ячейки уточнены по всему массиву данных [18]. В экспериментальные значения интенсивности рефлексов внесены поправки на поглощение с использованием программы SADABS [19]. Структуры расшифрованы методом сопряженного пространства, реализованном в программе SHELXT [20], и уточнены полноматричным методом наименьших квадратов SHELXL-2018 [21] по F^2 по всем данным в анизотропном приближении смещений всех атомов, кроме водорода. Атомы водорода молекул воды в **I** не были локализованы. В структуре **II** атомы водорода молекулы воды найдены из разностного синтеза Фурье и уточнены с ограничением расстояний O–H и углов H–O–H и с $U_{\text{изо}} = 1.5U_{\text{экв}}(\text{O})$. Атомы водорода однозарядных катионов гидразиния размещены в геометрически вычисленных позициях с $U_{\text{изо}} = 1.2U_{\text{экв}}(\text{N})$, положения групп NH_2 и NH_3 разупорядочены.

Параметры рентгеноструктурного эксперимента и окончательные значения факторов недостоверности для кристаллов **I** и **II** приведены в табл. 1, характеристики основных длин связей и валентных углов полизэдров UO_7 – в табл. 2. Коор-

динационные числа (КЧ) атомов в структурах рассчитаны с помощью метода пересекающихся сфер [22]. Координаты атомов и параметры атомных смещений депонированы в Кембриджский центр кристаллографических данных под номерами CSD 2234382 и 2234383 для **I** и **II** соответственно.

РЕЗУЛЬТАТЫ И ИХ ОБСУЖДЕНИЕ

Структура **I** содержит два независимых атома U(VI), которые занимают частные позиции 8e на осях C_2 . В структуре **II** только один независимый атом U(VI), располагающийся в частной позиции 4c с точечной симметрией C_s . В обеих структурах координационным полизэдром атомов урана является пентагональная бипирамида UO_7 , на главной оси которой находятся атомы кислорода ионов UO_2^{2+} . Ионы уранила практически симметричны и линейны: так, в **I** расстояния U=O равны 1.774 или 1.777 Å, угол O–U–O равен 179.2° или 179.5°, а в **II** $d(\text{U}=O) = 1.773$ и 1.776 Å, угол O–U–O равен 179.8°. Объем полизэдров Вороного–Дирихле (ПВД) атомов урана, имеющих форму пентагональной призмы, в структуре **I** равен 8.95 и 9.09 Å³, а в **II** – 9.09 Å³, что в пределах σ совпадает со средним значением 9.2(2) Å³, установленным для атомов U(VI) в составе координационного полизэдра UO_n при $n = 6–9$ [23].

В структурах **I** и **II** присутствуют соответственно два и один независимых атомов S(VI), которые занимают общие позиции с точечной симметрией C_1 . Все атомы серы образуют тетраэдры SO_4^{2-} , длина связей S–O в которых лежит в области 1.44–1.50 Å. Объемы ПВД атомов серы в структурах **I** (5.54, 5.57 Å³) и **II** (5.59 Å³) в пределах σ совпадают со средним значением 5.5(1) Å³, установленным для атомов S(VI) в составе более тысячи кристаллографически неэквивалентных сульфат-ионов [24]. По отношению к атомам урана в структурах **I** и **II** все сульфат-ионы играют роль бидентатных мостиковых лигандов B^2 . Согласно [5] символ “B” (первая буква слова bidentate) характеризует общую дентатность сульфат-иона, которая в обсуждаемых структурах равна двум. Сульфат-ионы связаны с каждым атомом урана в **I** и **II** монодентатно, поэтому надстрочная цифра 2, указывающая общее число координированных атомов металла, находится в первой “монодентатной” позиции надстрочного символа типа координации лиганда. Кроме того, атом урана координирует атом кислорода одной молекулы воды, которая выступает в роли монодентатного концевого лиганда M^1 . В итоге в экваториальной плоскости каждого иона уранила находятся пять атомов кислорода, четыре из которых принадлежат сульфат-ионам, а один – молекуле воды. Поэтому

Таблица 1. Кристаллографические характеристики, данные эксперимента и результаты уточнения структур I и II

Параметр	I	II
Химическая формула	$\text{Rb}_2[\text{UO}_2(\text{SO}_4)_2(\text{H}_2\text{O})] \cdot 1.75\text{H}_2\text{O}$	$(\text{N}_2\text{H}_5)_2[\text{UO}_2(\text{SO}_4)_2(\text{H}_2\text{O})]$
Сингония, пр. гр., Z	Ромбическая, <i>Cmca</i> , 16	Ромбическая, <i>Pnma</i> , 4
$a, b, c, \text{\AA}$	12.7414(2), 33.7526(6), 11.0187(2)	13.0764(5), 11.4298(4), 7.6063(3)
$V, \text{\AA}^3$	4738.65(14)	1136.84(7)
$D_x, \text{г}/\text{см}^3$	3.827	3.192
$\mu, \text{мм}^{-1}$	22.279	14.710
$F000$	4888	1008
T, K	100(2)	
Излучение; $\lambda, \text{\AA}$	Mo K_{α} ; 0.71073	
Размер образца, мм	0.20 × 0.10 × 0.10	0.14 × 0.10 × 0.08
$\theta_{\max}, \text{град}$	35.000	29.994
Пределы h, k, l	$-20 < h < 20, -54 < k < 46, -17 < l < 17$	$-18 < h < 18, -14 < k < 16, -10 < l < 10$
Число отражений: измеренных/независимых (N_1), $R_{\text{int}}/\text{с} I > 2\sigma(I)$ (N_2)	36624/5388; 0.0610/3642	20283/1731; 0.0503/1640
Метод уточнения	Полноматричный МНК по F^2	
Число уточняемых параметров	177	102
Весовая схема	$w = 1/[\sigma^2(F_o^2) + (0.0195P)^2 + 18.1738P]$, где $P = (F_o^2 + 2F_c^2)/3$	$w = 1/[\sigma^2(F_o^2) + 5.7319P]$, где $P = (F_o^2 + 2F_c^2)/3$
wR_2 по N_1	0.0617	0.0444
R_1 по N_2	0.0296	0.0204
S	1.005	1.239
$\Delta\rho_{\min}/\Delta\rho_{\max}, \text{э}/\text{\AA}^3$	-2.755/1.319	-1.793/1.401

му в соответствии с [5] урансодержащим комплексным группировкам в структурах I (рис. 1) и II (рис. 2) отвечает одинаковая кристаллохимическая формула AB_2M^l , где $A = \text{UO}_2^{2+}$, $B^2 = \text{SO}_4^{2-}$, $M^l = \text{H}_2\text{O}$.

Несмотря на идентичные формулы урансодержащих комплексов в I и II, их строение, как видно из рис. 1 и 2, существенно различается. Различие вызвано разной топологией комплексов из-за геометрической изомерии, обусловленной изме-

нением параметра C_p . Так, в цепочечной структуре I (рис. 1) любой атом урана связан четырьмя мостиковыми сульфат-ионами только с двумя соседними атомами U (изомер с $C_p = 2$). В то же время в слоистой структуре II (рис. 2) каждый атом урана связан координированными сульфат-ионами уже не с двумя (как на рис. 1), а с четырьмя соседними атомами U (изомер с $C_p = 4$).

Из-за сравнительно невысокого качества кристаллов определить позиции атомов водорода в структуре I не удалось. В связи с этим отметим,

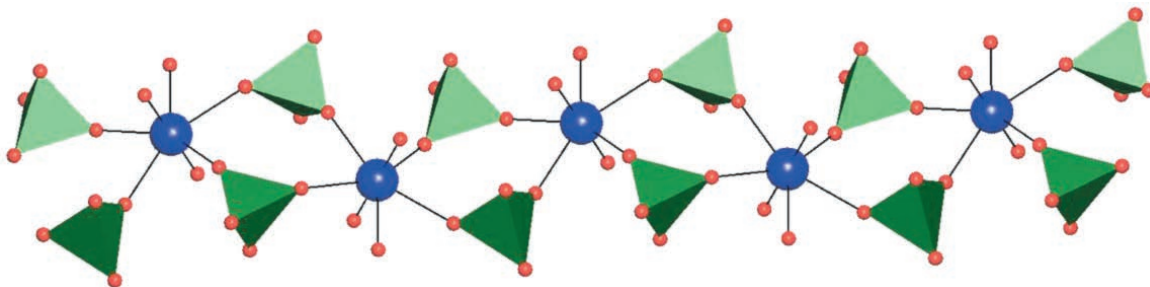


Рис. 1. Фрагмент цепочки $[\text{UO}_2(\text{SO}_4)_2(\text{H}_2\text{O})]^{2-}$ с $C_p = 2$ в структуре кристаллов I. Большие кружки — атомы урана, малые — атомы кислорода. Атомы серы находятся внутри тетраэдров. Позиции атомов H молекул воды установить не удалось. Уранил-сульфатные цепи распространяются вдоль направления [001].

Таблица 2. Основные геометрические параметры пентагональных бипирамид UO_7

Связь	$d, \text{\AA}$	$\Omega, \%^*$	Угол	$\omega, \text{град}$
Структура $\text{Rb}_2[\text{UO}_2(\text{SO}_4)_2(\text{H}_2\text{O})] \cdot 1.75\text{H}_2\text{O}$ (I)				
U1—O2 × 2	1.777(3)	21.20	O2—U1—O2	179.52(18)
U1—O10 × 2	2.333(3)	11.74	O10—U1—O9 × 2	73.67(10)
U1—O9 × 2	2.340(3)	11.89	O9—U1—O9	75.75(15)
U1—O1	2.428(4)	10.34	O10—U1—O1 × 2	68.55(7)
U2—O4 × 2	1.774(3)	21.37	O2—U2—O2	179.15(17)
U2—O13 × 2	2.362(3)	11.55	O12—U2—O11 × 2	74.37(10)
U2—O14 × 2	2.343(3)	12.03	O12—U2—O12	77.27(14)
U2—O3	2.458(4)	10.08	O11—U2—O2 × 2	67.29(7)
Структура $(\text{N}_2\text{H}_5)_2[\text{UO}_2(\text{SO}_4)_2(\text{H}_2\text{O})]$ (II)				
U1—O1	1.776(4)	21.32	O1—U1—O2	179.83(17)
U1—O2	1.773(4)	21.43	O4—U1—O3 × 2	74.97(9)
U1—O3 × 2	2.350(2)	11.94	O3—U1—O3	75.02(12)
U1—O4 × 2	2.346(3)	11.79	O4—U1—O7 × 2	67.59(6)
U1—O7	2.482(4)	9.81		

* Ω — телесный угол (в процентах от полного телесного угла 4π ср), под которым общая грань ПВД соседних атомов видна из ядра любого из них.

что для соединений уранила с отсутствующими данными о координатах атомов Н известна зависимость телесных углов ($\Omega_{\text{O}/\text{O}}$) граней ПВД атомов кислорода, которые участвуют в образовании водородных связей O—H/O, от соответствующих этим связям межатомных расстояний $d(\text{O} \dots \text{O})$ [25]. Согласно [25] эта зависимость описывается уравнением

$$\Omega_{\text{O}/\text{O}} = 49.1 - 12.4d(\text{O} \dots \text{O}), \quad (1)$$

в котором значения $\Omega_{\text{O}/\text{O}}$ выражены в процентах от 4π ср, а $d(\text{O} \dots \text{O})$ — в ангстремах. При дополните-

тельном анализе в структуре **I** были выявлены пять потенциально возможных водородных связей (табл. 3), для которых в согласии с [25] как рассчитанные по (1), так и экспериментальные значения $\Omega_{\text{O}/\text{O}} > 10\%$.

В отличие от **I** в структуре **II** были установлены координаты всех атомов Н. Однако поскольку некоторые из них (Н(2) и Н(6)) статистически с вероятностью 50% заселяют общие позиции с точечной симметрией C_1 , использовать метод молекулярных ПВД для анализа невалентных взаимодействий [26] в кристаллах **II** тоже нельзя. Поэтому в табл. 4 указаны только важнейшие параметры всех водородных связей в структуре $(\text{N}_2\text{H}_5)_2[\text{UO}_2(\text{SO}_4)_2(\text{H}_2\text{O})]$ (**II**), которые были выявлены с помощью уравнения (1) при условии, что $\Omega_{\text{Y}/\text{O}} \geq 10\%$. Отметим, что геометрические характеристики иона N_2H_5^+ в кристаллах **II** согласуются с аналогичными параметрами, известными для структур, содержащих монопротонированные катионы гидразиния. В частности, в двух кристаллографически неэквивалентных ионах N_2H_5^+ структуры **II** $d(\text{N}—\text{N}) = 1.446(10)$ и $1.462(6)$ Å, тогда как в нитрате гидразиния $d(\text{N}—\text{N}) = 1.4468(11)$ Å [27].

В организации структуры кристаллов **I** важную роль играют также ионно-ковалентные взаимодействия между ионами рубидия и атомами

Таблица 3. Некоторые характеристики межатомных контактов, отвечающих возможным водородным связям в структуре $\text{Rb}_2[\text{UO}_2(\text{SO}_4)_2(\text{H}_2\text{O})] \cdot 1.75\text{H}_2\text{O}$ (**I**)

Связь	$d(\text{O} \cdots \text{O})_{\text{эксп}}, \text{\AA}$	$\Omega_{\text{O}/\text{O}}, \%$	
		Эксперимент	Теория*
O1—H \cdots O16	2.671	15.00	15.98
O3—H \cdots O12	2.722	13.36	15.35
O5—H \cdots O2	3.026	11.09	11.58
O6—H \cdots O13	2.928	10.88	12.79
O7—H \cdots O11	3.067	10.49	11.07

* Значения $\Omega_{\text{O}/\text{O}}$ (теор.) рассчитаны по уравнению (1).

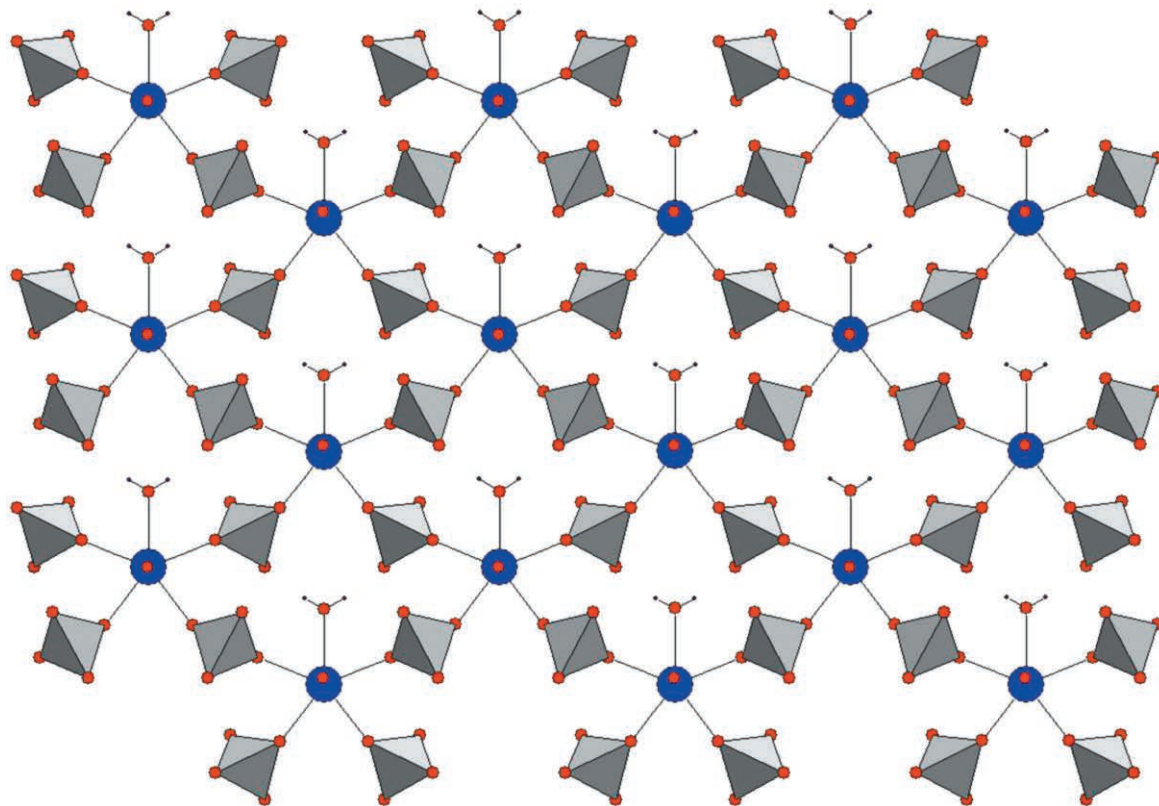


Рис. 2. Фрагмент слоя $[\text{UO}_2(\text{SO}_4)_2(\text{H}_2\text{O})]^{2-}$ с $C_p = 4$ в структуре кристаллов **II** (проекция вдоль направления [100]). Обозначения атомов совпадают с обозначениями рис. 1. Дополнительно показаны связи O–H в молекулах воды, координированных атомами U(VI).

кислорода, входящими в состав ионов уранила, сульфат-ионов и внешнесферных молекул воды. В **I** имеются четыре кристаллографически разных атома рубидия, занимающие позиции $8f$ с точечной симметрией C_s . Атомы Rb образуют координационные полидры RbO_n ($n = 8-10$), в которых $d(\text{Rb}-\text{O}) = 2.88-3.40 \text{ \AA}$. Объемы ПВД атомов Rb в **I** ($21.6, 22.4, 22.1$ и 22.1 \AA^3) согласуются с аналогичными параметрами атомов Rb

(23.9 и 22.3 \AA^3) в структуре родственных кристаллов $\text{Rb}_2[\text{UO}_2(\text{SO}_4)_2(\text{H}_2\text{O})] \cdot \text{H}_2\text{O}$ [28]. Соседние полидры RbO_n связаны между собой общими вершинами, ребрами и гранями в слои, которые располагаются параллельно плоскостям (100). Поэтому структуру **I** в целом можно рассматривать как совокупность взаимно параллельных рубидий-кислородных слоев, между которыми располагаются уранил-сульфатные цепи (рис. 1). Эти цепи связаны между собой межцепочечными

Таблица 4. Основные геометрические характеристики водородных связей в структуре $(\text{N}_2\text{H}_5)_2[\text{UO}_2(\text{SO}_4)_2(\text{H}_2\text{O})]$ (**II**)

Связь $D-\text{H}\cdots\text{O}$	$d_{\text{эксп.}}, \text{\AA}$	$\Omega_{D/\text{O}}, \%$ *		$d(D-\text{H}), \text{\AA}$	$d(\text{H}\cdots\text{O}), \text{\AA}$	Угол ($D-\text{H}\cdots\text{O}$), град
		Эксп.	Теор.			
O7–H1…O6	2.718	14.39	15.5	0.831	1.893	171.9
N1–H3…O5	3.100	9.94	10.8	0.910	2.369	137.4
N1–H4…O6	2.949	11.64	12.6	0.910	2.086	157.9
N3–H8…O5	2.890	11.20	13.4	0.917	2.010	160.3

Примечание. D – донор.

* Значения $\Omega_{Y/\text{O}}$ (теор.) рассчитаны по уравнению (1).

водородными связями, характеристики которых указаны в первых двух строках табл. 3.

Рентгенодифракционные эксперименты проведены в ЦКП ФМИ ИФХЭ РАН при частичном финансировании Министерством науки и высшего образования РФ (тема № 122011300061-3), а также с использованием оборудования Центра молекулярных исследований ИНЭОС РАН.

СПИСОК ЛИТЕРАТУРЫ

1. Сидоренко Г.А. Кристаллохимия минералов урана. М.: Атомиздат, 1978. 216 с.
2. Gurzhiy V.V., Plášil J. // Acta Cryst. B. 2019. V. 75. № 1. P. 39.
3. Галкин Н.П., Судариков Б.Н., Верягин У.Д. и др. Технология урана. М.: Атомиздат, 1964. 397 с.
4. Михайлов Ю.Н., Горбунова Ю.Е., Сережкина Л.Б. и др. // Журн. неорган. химии. 1997. Т. 42. № 9. С. 1413.
5. Serezhkin V.N., Vologzhanina A.V., Serezhkina L.B. et al. // Acta Cryst. B. 2009. V. 65. № 1. P. 45. <https://doi.org/10.1107/S0108768108038846>
6. Niinisto L., Toivonen J., Valkonen J. // Acta Chem. Scand. A. 1978. V. 32. P. 647.
7. Norquist A.J., Thomas P.M., Doran M.B., O'Hare D. // Chem. Mater. 2002. V. 14. P. 5179.
8. Jouffret L.J., Wylie E.M., Burns P.C. // J. Solid State Chem. 2013. V. 197. P. 160.
9. Pekov I.V., Krivovichev S.V., Yapaskurt V.O. et al. // Am. Mineral. 2014. V. 99. № 8–9. P. 1783.
10. Niinisto L., Toivonen J., Valkonen J. // Acta Chem. Scand. A. 1979. V. 33. P. 621.
11. Alekseev E.V., Suleimanov E.V., Chuprunov E.V. et al. // Crystallography Reports. 2006. V. 51. № 1. P. 29.
12. Plášil J., Hloušek J., Kasatkin A.V. et al. // Mineral. Magazine. 2015. V. 79. P. 205.
13. Сережкин В.Н., Сережкина Л.Б. // Журн. неорган. химии. 1978. Т. 23. № 3. С. 751.
14. Табаченко В.В., Сережкин В.Н., Сережкина Л.Б., Ковба Л.М. // Координат. хим. 1979. Т. 5. С. 1563.
15. Alekseev E.V., Suleimanov E.V., Chuprunov E.V., Fukin G.K. // Crystallography Reports. 2005. V. 50. P. 914.
16. Kampf A.R., Sejkora J., Witzke T. et al. // J. Geosciences. 2017. V. 62. P. 107.
17. Ling J., Sigmon G.E., Ward M. et al. // Z. Naturforsch. B: Chem. Sci. 2010. V. 225. № 6. P. 230.
18. SAINT-Plus (Version 7.68). Bruker AXS Inc., Madison, Wisconsin, USA. 2007.
19. SADABS. Bruker AXS Inc., Madison, Wisconsin, USA.
20. Sheldrick G.M. // Acta Cryst. A. 2008. V. 64. № 1. P. 112.
21. Sheldrick G.M. // Acta Cryst. C. 2015. V. 71. № 1. P. 3.
22. Сережкин В.Н., Михайлов Ю.Н., Буслаев Ю.А. // Журн. неорган. химии. 1997. Т. 42. № 12. С. 2036.
23. Serezhkin V.N., Savchenkov A.V., Pushkin D.V., Serezhkina L.B. // Appl. Solid State Chem. 2018. № 2. P. 2. <https://doi.org/10.18572/2619-0141-2018-2-3-2-16>
24. Сережкин В.Н., Шишкова О.В., Сережкина Л.Б., Буслаев Ю.А. // Журн. неорган. химии. 1999. Т. 44. № 4. С. 616.
25. Сережкин В.Н., Веревкин А.Г., Смирнов О.П., Плахтий В.П. // Журн. неорган. химии. 2010. Т. 55. № 10. С. 1695.
26. Serezhkin V.N., Yu L., Savchenkov A.V. // Cryst. Growth Des. 2022. V. 22. P. 6717.
27. Grigoriev M.S., Moisy P., Den Auwer C., Charushnikova I.A. // Acta Cryst. E. 2005. V. 61. P. i216.
28. Serezhkina L.B., Mikhailov Yu.N., Gorbunova Yu.E. et al. // Rus. J. Inorg. Chem. 2004. V. 49. № 3. P. 364.